

О МЕХАНИЗМЕ РАСТВОРЕНИЯ ХЛОРА В МОДЕЛЬНОМ ВОДОНАСЫЩЕННОМ ГРАНОДИОРИТОВОМ РАСПЛАВЕ: ИСПОЛЬЗОВАНИЕ МЕТОДОВ ИК СПЕКТРОСКОПИИ

© 2003 г. В. Ю. Чевычелов, А. Г. Симакин, Г. В. Бондаренко

Институт экспериментальной минералогии РАН
142432 Черноголовка, Московская обл.; e-mail: chev@iem.ac.ru

Поступила в редакцию 03.07.2001 г.

При $P = 1$ кбар и $T = 1000^\circ\text{C}$ экспериментально изучена совместная растворимость Cl и H_2O в модельном гранодиоритовом расплаве при его взаимодействии с водно-солевым флюидом, в широком диапазоне валовой концентрации флюида от 0 до ~98 мас. % хлоридов. По данным изучения ИК спектров закаленных стекол была охарактеризована структура гранодиоритовых расплавов. В этих же стеклах методами FTIR-спектроскопии в ближней области определены общее содержание и содержания отдельных форм воды ($\text{H}_2\text{O}_{\text{мол.}}$, OH^-). Проанализировано влияние вариаций содержания катионов щелочных и щелочноземельных металлов, хлора и воды на структуру среднего порядка гранодиоритового стекла.

Изучение растворимости различных компонентов природных флюидов, таких как хлор и фтор, в гранитном и гранодиоритовом расплавах имеет большое значение для построения моделей рудных систем. Рудные системы фторидной и хлоридной специализации отличаются как по характеристикам геологической среды их образования и эволюции, так и по их специализации на различные металлы [1–2]. Различия фторидного и хлоридного путей эволюции магмы в большой степени обусловлены различиями в природе взаимодействия этих галогенов с магматическими расплавами.

Закономерности растворимости хлора в кислых алюмосиликатных магматических расплавах в зависимости от различных физико-химических факторов экспериментально исследовались неоднократно. В обобщающих работах С.Д. Малинина, И.Ф. Кравчука, Д.Д. Вебстера и др. приведены достаточно подробные обзоры этих исследований [3–5].

В вопросе о влиянии высокой солевой концентрации флюида на растворимость хлора в расплаве много неясного, так как в большинстве исследований применялись растворы не более 6–8 м Cl концентрации. В области высоких (82 мас. % NaCl) концентраций хлора во флюиде описано резкое возрастание растворимости хлора в альбит-кварцевом эвтектическом расплаве до ~1.8 мас. %, по сравнению с ~0.25 % в расплаве при концентрации флюида <50 % NaCl , при 1.5 кбар и 900°C [3].

В работе Х. Шинохары и др. [6] показано, что при низком давлении, 0.6, 1.2 кбар и 810°C хлоридная концентрация в гранитном расплаве постоянна и не зависит от “валовой” концентрации Cl во флюидных фазах для широкой области не-

смесимости водный пар – хлоридная жидкость. В то же время в области давления от 2.2 до 6.0 кбар содержание хлора в гранитном расплаве непрерывно возрастает с увеличением концентрированности существующего гомогенного водно-хлоридного раствора [6].

Изучение совместного концентрирования Cl и H_2O в алюмосиликатных расплавах гранитного, андезитового и базальтового составов, как в водонасыщенных, так и в недосыщенных по H_2O условиях при давлении 2, 0.5 и 0.001 кбар было проведено Вебстером [4, 7–9]. Показано, что в целом концентрация Cl в расплаве уменьшается с увеличением активности H_2O в системе. Согласно Вебстеру [7, 10], при различных P - T -условиях и составах реализуются два типа совместного концентрирования Cl и H_2O в алюмосиликатном расплаве. 1). При сравнительно высокой температуре и пониженном давлении водно-хлоридный флюид имеет весьма широкую область несмесимости. При этом в присутствии гомогенного слабо-концентрированного флюида, с ростом содержания хлоридов в системе, Cl быстро накапливается в алюмосиликатном расплаве при постоянном содержании H_2O . В области существования двухфазного флюида содержания Cl и H_2O в алюмосиликатном расплаве, достигнув максимальных величин, остаются близкими к постоянным значениям. С дальнейшим увеличением содержания хлоридов и переходом флюида в гомогенный высококонцентрированный флюид-расплав, в алюмосиликатном расплаве при постоянном содержании Cl начинает уменьшаться содержание H_2O . 2). Второй тип совместного концентрирования Cl и H_2O в алюмосиликатном расплаве реализуется в

области более высокого давления и низкой температуры при отсутствии области несмесимости во флюиде. При этом в присутствии гомогенного водно-хлоридного флюида, по мере увеличения общего содержания Cl в системе, его концентрация в расплаве плавно возрастает, а концентрация H₂O – падает.

Вебстер [9] рассматривает также вероятные изменения содержаний Cl и H₂O в остаточном алюмосиликатном расплаве и в отделяющихся флюидных фазах в ходе различных магматических процессов. 1). Например, в процессе эвтектической кристаллизации кварца и полевого шпата из гаплогранитного ненасыщенного летучими расплава, Cl и H₂O будут прогрессивно накапливаться в остаточном расплаве. 2). В случае изобарической кристаллизации алюмосиликатного расплава, насыщенного летучими компонентами, поведение Cl и H₂O будет зависеть от числа фаз выделяющегося флюида. Концентрации Cl и H₂O в остаточном расплаве либо будут обратно пропорциональны друг другу (одна флюидная фаза), либо близкими к постоянным максимальным величинам (две флюидные фазы). 3). В случае декомпрессионной дегазации насыщенного летучими расплава возможны довольно сильные вариации содержания H₂O в остаточном расплаве в зависимости от $P_{\text{конечного}}$ и сравнительно малые изменения содержания хлора.

К сожалению, в литературе практически отсутствуют структурные исследования строения хлорсодержащих расплавов с применением современных спектральных методов, а также исследования, описывающие механизм растворения хлора в водосодержащих алюмосиликатных расплавах. Известно, что при умеренных давлениях в алюмосиликатных расплавах сеткообразующие элементы, главным образом, кремний и алюминий, имеют четверную координацию по кислороду, образуя тетраэдры. Структура силикатного расплава на самом низком (начальном) уровне (ближний порядок) классифицируется по степени связанности тетраэдров через общий кислород, так называемая Q спецификация [11]. Она основана на типах (мостиковый или немостиковый) кислорода, которые граничат с Si или Al. Различают структуры от максимальной степени связанности – Q₄, когда один тетраэдр связан с четырьмя другими, до свободных – Q₀ тетраэдров. Распределение тетраэдров неоднозначно задается составом в силу возможности диспропорционирования средне-связанных Q₃ частиц на полимеризованные Q₄ и линейно-связанные Q₂ частицы. Соотношение этих частиц успешно изучается путем анализа ИК спектров в области деформационных колебаний 850–1600 см⁻¹ [11, 12].

В этой работе нами использован другой подход к описанию структуры расплава, с точки зрения

структурь среднего порядка. Средний порядок касается сферы ближайших соседей, которые образуют минимальное замыкание. В целом, этот подход не зависит от Q спецификации. Ранее нами была охарактеризована структура среднего порядка в расплавах [13] в качестве распределения по размерам минимальных топологически неразложимых алюмокремниевых колец (топологический термин) [14]. Эти размеры меняются в узких пределах – установлены трех-, четырех- и шестичленные кольца. Четырех- и шестичленные кольца – типичные структурные элементы силикатных минералов. Кольца, состоящие из тетраэдров, в различной степени деформированы для их замыкания, и поэтому характеризуются индивидуальными Т-О-Т углами, проявляемыми в деформационных колебаниях (T – Si и Al, элементы-сеткообразователи, O – кислород).

Наиболее деформированные трехчленные кольца имеют наибольшую частоту (полосу поглощения) при 600 см⁻¹. Трехчленные кольца установлены в сильно полимеризованных расплавах (NBO/T = 0), содержащих анортит. В водосодержащих кислых расплавах они практически не проявлены. Вопрос о существовании пятичленных колец остается открытым. Они не отмечены в каркасных силикатных минералах. Но с точки зрения статистики и формальной топологии они должны присутствовать, что отражается, например, в интерпретации рентгеновских данных Н. Зотовым [15]. С другой стороны, если четырехчленные кольца имеют достаточно индивидуальную полосу поглощения при 460 см⁻¹ (расплав анортита), а шестичленные кольца – при 400–420 см⁻¹ (расплав тридимита), то полосы поглощения для пятичленных колец не обнаружено. Строго говоря, должно существовать предпочтение четырех- и шестичленным размерам колец, в силу избирательности химического взаимодействия катионов-модификаторов (Na, Ca, K) с алюмокремневым каркасом. В этом смысле можно говорить о миналах, т.е. химических соединениях в расплаве. Наша интерпретация структуры среднего порядка в расплавах недостаточно строго обоснована, так как остается формальная возможность выделения третьей полосы поглощения, отвечающей пятичленным кольцам. В этом смысле можно говорить о кажущемся (эффективном) распределении по размерам минимальных топологически неразложимых алюмокремниевых колец.

В пользу нашей интерпретации спектральных данных говорит хорошая корреляция вычисленных пропорций колец в системе Ab-An и состава стекла [13]. В этой работе также было исследовано влияние воды на характер упорядочения структуры гранитного расплава, используя метод ИК-спектроскопии поглощения. С ростом содержания H₂O установлено возрастание доли шестичленных структурных алюмокремниевых колец.

В настоящей работе мы попытались применить разработанные методы для анализа воздействия воды и хлора, растворенных в гранодиоритовом расплаве, на структуру среднего порядка расплава. Таким образом, мы хотим прояснить механизм растворения хлора.

ЭКСПЕРИМЕНТАЛЬНЫЕ И АНАЛИТИЧЕСКИЕ МЕТОДЫ

Исходные материалы, подготовка и условия экспериментов

Исходное стекло, моделирующее гранодиоритовый состав (по расчету, в мас. %): 68.4 SiO₂, 17.9 Al₂O₃, 5.2 CaO, 4.0 Na₂O и 4.5 K₂O, было приготовлено из геля. Гелевая смесь получена по стандартной методике [16, 17]. В качестве исходных солей в большинстве случаев использовались нитраты. Конечная температура отжига составляла 600°C. Аллюмосиликатные стекла готовились путем вначале “сухого” плавления геля при $P \sim 1$ бар, ступенчатом подъеме температуры от 700°C до 1360°C и длительности опытов около трех суток, причем при $T \geq 1300^\circ\text{C}$ расплав выдерживали ~1 сутки. А затем проводили плавление измельченных в порошок стекол в “гидротермальных” условиях: при $P_{\text{общ.}} = P_{\text{H}_2\text{O}} = 1$ кбар, $T = 1100^\circ\text{C}$ и длительности около суток, при f_{O_2} близкой к буферной паре Ni–NiO. Потом столбик полученного водонасыщенного стекла распиливали с помощью тонкой алмазной пилы на кусочки (~30–90 мг), которые использовались в опытах по изучению растворимости. Для опытов 234 и 235 было специально наплавлено *оптически беспузырное* водонасыщенное стекло. Для этого до плавления из измельченного в порошок стекла удаляли воздух, замещая его водой, то есть в ампулу помещали “жидкую кашицу”, состоящую из приблизительно равных количеств порошкообразного стекла и H₂O.

Эксперименты по изучению растворения хлора в водосодержащем гранодиоритовом расплаве проводились при $P_{\text{общ.}} = P_{\text{H}_2\text{O}} = 1 \pm 0.1$ кбар, $T = 1000 \pm 10^\circ\text{C}$ и длительности 4 сут на установках высокого газового давления с внутренним нагревом (УВГД–10000). Опыт 240 был проведен при $T = 1050^\circ\text{C}$ для получения чистого, несодержащего кристаллических фаз, стекла. Высокая температура проведения экспериментов связана с высокой температурой ликвидуса расплава [5], который исходно содержал до 5.2% CaO. В работе [5] было также показано, что продолжительности экспериментов 4 сут при используемых P – T -параметрах вполне достаточно для достижения условий близких к равновесным. Косвенно это подтверждает отсутствие различий в содержании хлора и петрогенных компонентов в краевой и

центральной частях образцов аллюмосиликатного стекла после опытов.

Задавая состав исходного флюида, в ампулу загружали также хлоридный раствор и смесь химических реагентов. Использовали ~1н ΣCl раствор следующего состава: 0.05н HCl + 2.4 мас. % NaCl + 2.2% KCl + 0.9% CaCl₂ + 0.49% AlCl₃ · 6H₂O, а также химические реагенты: NaCl, KCl, CaCl₂плавл., AlCl₃ · 6H₂O, SiO₂аморф. Причем соотношение веса отдельных реагентов и раствора подбирали таким образом, чтобы состав аллюмосиликатного расплава после опыта изменялся в минимальной степени. То есть мы стремились к тому, чтобы при различном содержании хлоридов во флюиде, составы аллюмосиликатного расплава после разных опытов отличались минимальным образом по соотношениям оксидов Si, Al, Ca, Na и K и результаты последующих спектроскопических исследований было легче сравнивать между собой. В опытах, не содержащих исходный хлор, использовали как чистую тридистиллированную воду, так и щелочные растворы, следующего состава: 1.7 мас. % KOH + 2.6–5.8 % Na₂SiO₃ · 9H₂O, в которые добавляли CaO, Al₂O₃, SiO₂аморф.

Мы полагаем, что растворение хлора в аллюмосиликатном расплаве осуществлялось диффузионным путем из флюида. Так как в качестве исходного материала для каждого опыта использовались цельные, не растертые в порошок кусочки стекла, а хлор в исходную систему вводился только через флюид.

В платиновую ампулу (6 мм × 0.2 мм × 25 мм) засыпали предварительно перемешанную смесь хлоридов натрия, калия, кальция, алюминия и аморфного кремнезема, помещали цельный кусочек аллюмосиликатного стекла, завернутый в 0.1мм-платиновую фольгу, а также заливали ~1н ΣCl исходный раствор; контролируя каждый этап взвешиванием с точностью 10⁻⁴–10⁻⁵ г. Для удаления воздуха, ампулу в течение двух минут продували аргоном и потом заваривали. Исходное весовое соотношение стекло/флюид составляло от 1 до 0.3 в пользу флюида.

После опыта платиновую ампулу тщательно протирали, взвешивали и аккуратно вскрывали. С помощью “Индикаторной бумаги универсальной” измеряли pH закалочного раствора. Закалочное стекло промывали в течение 10–20 мин в тридистиллированной воде при нагревании до 80–100°C, затем высушивали и взвешивали. Потеря веса аллюмосиликатного образца в процессе опыта вследствие растворения расплава или, напротив, его привес вследствие поглощения вещества из флюида обычно составляли от 0 до ±4 отн. %.

Каждый цельный образец стекла был аккуратно разделен пополам с помощью заточенного кусочка корунда. Одна половинка образца использовалась для изготовления аншлифа, при этом

полностью выводился на поверхность поперечный разрез образца, то есть как центральная, так и краевые его части. Анишлифы просматривали на оптическом микроскопе в отраженном свете, чтобы установить, присутствуют ли в стекле кристаллические фазы, а затем определяли химический состав образцов с помощью электронного микрозонда. Другую часть образца растирали в порошок и использовали для ИК спектроскопических исследований. Для определения содержания воды из половинки образца также изготавливались плоскопараллельная пластинка с полированными поверхностями.

Электронный микрозондовый анализ

Полный химический состав алюмосиликатных стекол после опытов определялся методом микрозондового анализа на приборе Camebax с помощью энергодисперсионного спектрометра Link, время регистрации импульсов (τ) – 100 с, диаметр зонда ~2–5 микрон, $U = 15$ кВ. Для каждого образца было проведено от 6 до 14 измерений в краевой, в центральной частях и при перемещении по всему разрезу образца, и затем использовали средние величины содержаний. Чтобы избежать заниженных определений по натрию и калию, анализ проводили при постоянном перемещении зонда по поверхности образца. Анализы некоторых образцов были продублированы при иных условиях съемки: (а) $\tau = 400$ –200 с и (б) съемка сканированием площадки 10×10 микрон. Были также проанализированы отмеченные в отдельных опытах единичные кристаллы. Расчет концентраций производили по программе, используя метод ZAF-коррекций. Процесс определения концентраций хлора более подробно описан в работе [5].

Инфракрасная спектроскопия поглощения

Инфракрасные спектры поглощения образцов в интервале волновых чисел 300–800 cm^{-1} были получены в цифровом виде на спектрофотометре Perkin Elmer m.983. Для получения спектров применена стандартная методика прессования таблеток KBr, содержание материала образца в которых составляло около 0.4–0.5% (~2 мг растертого в порошок вещества образца). Примерно для половины образцов ИК спектры были сняты дважды или даже трижды, используя материал из разных частей образца. Полученные сложные широкие асимметричные полосы ИК спектров в области частоты 300–600 cm^{-1} аппроксимировались двумя симметричными контурами, относящимися к колебаниям четырех- и шестичленных алюмокремниевых и кремниевых колец. Использована программа для обработки спектров GRAMS.

FTIR-спектроскопия

Для определения содержания воды из каждого образца изготавливались плоскопараллельные полированные пластинки толщиной 110–390 мкм. Измерения ИК спектров в ближней области 4000–6000 cm^{-1} (в области обертонаов и составных частей) проводились в университете г. Пиза, Италия, П. Армиенти на FTIR спектрометре. Этим методом можно проводить локальное измерение ИК-спектра при диаметре пучка в 20–30 мкм, выбирая путь луча между кристаллами и пузырями в недостаточно гомогенном стекле. Общее содержание воды определялось как сумма содержания OH групп (полоса с максимумом около 4500 cm^{-1}) и молекулярной воды (пик 5200 cm^{-1}). Для расчета использовались формулы из [18]

$$C_{\text{H}_2\text{O}}(\text{мас. \%}) = \frac{1802A_{\text{H}_2\text{O}}}{d\rho\varepsilon_{\text{H}_2\text{O}}}, \quad (1)$$

и

$$C_{\text{OH}}(\text{мас. \%}) = \frac{1802A_{\text{OH}}}{d\rho\varepsilon_{\text{OH}}}, \quad (2)$$

где $A_{\text{H}_2\text{O}}$ и A_{OH} – поглощение в максимуме полосы для молекулярной воды и OH групп, ρ – плотность стекла, в г/л, d – толщина пластинки стекла, которая определялась непосредственно в точке измерения ИК спектра, в см, $\varepsilon_{\text{H}_2\text{O}}$ и ε_{OH} – коэффициенты мольной экстинции, в л/моль см. Они рассчитывались по [18] в зависимости от содержания SiO_2 в образцах стекла для полосы поглощения молекулярной H_2O и полосы поглощения OH групп.

Поправка для пересчета содержания OH групп включена в коэффициент экстинции. Значения поглощения для большинства образцов измерялись два–четыре раза в отдаленных друг от друга точках.

Измерение плотности образцов

Для расчета содержания воды в образцах закалочного стекла по данным FTIR-спектроскопии нужно знать плотность этих стекол. Измерение плотности образцов проведено с помощью термоградиентного прибора ТГП-1. Использован метод двух эталонов, а в качестве рабочей жидкости применялась смесь бромоформа с небольшим количеством абсолютированного спирта. Определение выполнено Т.В. Прасол. Результаты приведены в табл. 1.

TEM-микроскопия

Образцы 222 (содержит 0.96% Cl) и 224 (не содержит хлора) были исследованы на просвечи-

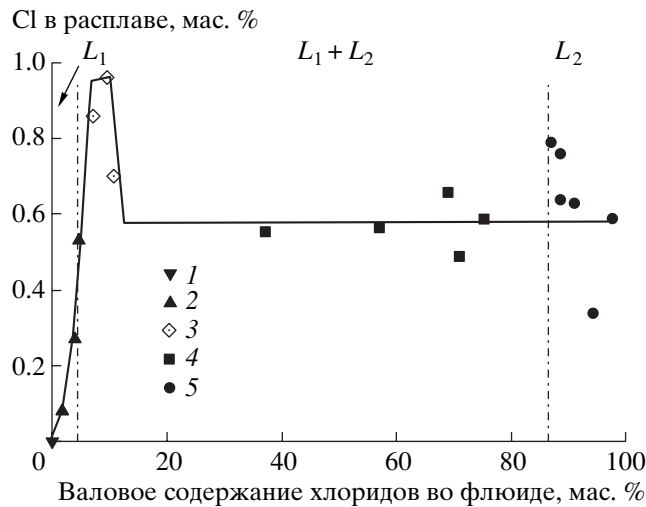


Рис. 1. Зависимость содержания хлора в гранодиоритовом расплаве от валового содержания хлоридов во флюиде. L_1 и L_2 – соответственно, области парового и солевого флюидов, $L_1 + L_2$ – область существования этих двух флюидов. 1 – опыты без хлора, 2 – L_1 флюид, 3 и 4 – ($L_1 + L_2$) флюид, из них 3 – опыты с повышенным содержанием хлора в расплаве, 5 – L_2 флюид.

вающем электронном микроскопе ICX (TEM-микроскопия) при увеличении $\times 100000$. Анализ расщепленных в порошок образцов проведен В.И. Николайчиком, ИПТМ РАН, п. Черноголовка, Московская обл. В результате не было установлено видимых различий между аморфным веществом из этих двух образцов. В аморфных частичках стекла из образца 222 не наблюдалось выделений кристаллических фаз, которые можно было бы принять за хлориды. То есть можно предположить, что в процессе наших экспериментов происходило равномерное распределение хлора в объеме алюмосиликатного расплава.

ЭКСПЕРИМЕНТАЛЬНЫЕ РЕЗУЛЬТАТЫ

Растворимость хлора в расплаве модельного гранодиорита

Полученные экспериментальные результаты по растворимости хлора в водонасыщенном расплаве модельного гранодиорита при его взаимодействии с водно-солевым флюидом сложного состава приведены в табл. 1. Валовое содержание хлоридов в исходном растворе (в пересчете на хлорид одновалентного металла, MeCl) изменяли через 1–25 мас. % в широком диапазоне от 0 до ~98%. В опытах 217 и 218 закалочные гранодиоритовые стекла оказались резко обедненными кальцием в результате его выноса во флюид. В последующих опытах, используя исходный водно-солевой раствор, обогащенный кальцием, мы добивались, чтобы состав алюмосиликатного стек-

ла после опыта изменялся в минимальной степени. В некоторых опытах закалочные стекла содержали отдельные кристаллы плагиоклаза и, реже, кварца, в количестве не более 5–10 об. %. По данным микрозондового анализа плагиоклаз имеет состав лабрадора (в мас. %: 53.5 SiO_2 , 29.1 Al_2O_3 , 13.2 CaO , 3.5 Na_2O и 0.5 K_2O) и, реже, битовнита и чистого аортита (45.6 SiO_2 , 34.7 Al_2O_3 , 19.1 CaO , 0.3 Na_2O и 0.3 K_2O). В оп. 218 установлены волокнистые кристаллы муллита (~27.2 SiO_2 и ~72.8 Al_2O_3) или смесь муллита с силлиманитом.

На рис. 1 показано содержание хлора в алюмосиликатном расплаве в зависимости от валового содержания хлоридов во флюиде. При $P-T$ -параметрах наших экспериментов изучаемая система находится в области двухфазного флюида в весьма широком диапазоне содержания в нем хлоридов. На основании работ [19–21] можно ориентировочно оценить этот диапазон от ~1–4.5 до ~80–95 мас. %. На рис. 1 показаны области малоплотного парового (L_1) и солевого (L_2) флюидов, а также область совместного существования двух этих флюидов ($L_1 + L_2$). Как мы видим, в области парового флюида (L_1) растворимость хлора в расплаве сравнительно невелика 0.1–0.5%, но возрастает достаточно быстро с увеличением содержания хлора в системе. В этой области коэффициент распределения хлора между флюидом и расплавом ($D_{\text{fluid/melt}}$) меньше десяти. Растворимость хлора в расплаве достигает своего максимума (до 0.96%) в равновесии с двухфазным флюидом, при сравнительно небольшом общем содержании хлоридов во флюиде (~7–11 мас. %). При дальнейшем повышении валового содержания хлоридов во флюиде растворимость хлора в гранодиоритовом расплаве несколько понижается до 0.5–0.65 мас. % и остается примерно на этом постоянном уровне в равновесии с флюидными фазами с “валовым” содержанием более ~15% MeCl . Мы не наблюдаем заметного увеличения содержания хлора в магматическом расплаве даже в присутствии гомогенного почти безводного хлоридного флюида-расплава (~94–98% MeCl в исходном флюиде).

В табл. 1 приведены некоторые, рассчитанные по составам закалочных стекол, мольные соотношения: $\text{Al}_2\text{O}_3/(\text{CaO} + \text{Na}_2\text{O} + \text{K}_2\text{O})$, $(\text{Na}_2\text{O} + \text{K}_2\text{O})/\text{Al}_2\text{O}_3$, $(\text{Al} + \text{Na} + \text{Ca})/\text{Si}$ и $(\text{Al} + \text{Na} + \text{Ca} + \text{K})/\text{Si}$ (сокращенно A/CNK, NK/A, ANC/S, AN-CNK/S, соответственно), – которые, по результатам предшествующих исследований [5, 7] и др., способны контролировать растворимость хлора в алюмосиликатных расплавах различного состава. Согласно [22], почти все образцы попадают в область метаглиноземистых составов ($\text{A/CNK} < 1$, $\text{NK/A} < 1$), часть из которых в опытах с солевым или двухфазным флюидом приближается к субглиноземистым ($\text{A/CNK} \sim 1$). И только образцы из двух опытов, со стеклом, резко обедненным каль-

цием, попадают в область пересыщенных глиноzemом составов ($A/CNK > 1$).

Из четырех мольных отношений, приведенных в табл. 1, при построении корреляционных зависимостей мы использовали два наиболее подходящих – A/CNK и ANC/S , которые в качестве интегральных показателей хорошо характеризуют состав расплава в исследуемой системе. Показатель A/CNK , обратный коэффициенту агпантности, характеризует повышенную глиноземистость или щелочность состава относительно полевошпатового компонента. Второй показатель ANC/S отражает отношение полевошпатовых и кварцевого компонентов в составе. При интерпретации результатов наших экспериментов использование отношения NK/A может приводить к неверным выводам (например, рис. 3 и описание к нему в тексте). При использовании отношения $ANCK/S$ мы получали на графиках зависимости, подобные таковым с ANC/S , но выраженные менее четко.

На рис. 2 показана зависимость содержания хлора в расплаве от изменения мольного отношения A/CNK , характеризующего состав расплава. Несмотря на наше стремление свести к минимуму изменения состава расплава в процессе опыта, величина A/CNK в наших опытах изменялась в диапазоне от 0.73 до 1.0 и более (табл. 1). Прямые линии показывают хорошо выраженные отрицательные (так как мы находимся в области составов, обогащенных щелочами и кальцием) корреляции между хлором и A/CNK . Линия 1 – ненасыщенный хлоридами расплав, в области доминирования парового флюида L_1 . Линия 2 – опыты с повышенным содержанием хлора в расплаве ($A/CNK \sim 0.76\text{--}0.80$). Линия 3 – опыты в присутствии двухфазного и солевого флюидов ($A/CNK \sim 0.85\text{--}0.99$ и более). С увеличением избытка кальция, натрия и калия относительно полевошпатового минала, содержание хлора в составе расплава возрастает. На этот тип зависимости, как показано в [5], неоднократно обращали внимание многие исследователи. Показанные на рисунке корреляционные прямые 2 и 3, вероятно, связаны с двумя описанными ниже механизмами вхождения хлора в структуру расплава.

На рис. 3 представлена зависимость содержания хлора в расплаве от мольного соотношения NK/A . Две прямые линии, ограничивающие поле с хлорсодержащими опытами, наглядно показывают прямую корреляционную зависимость между содержанием хлора и данным мольным отношением в составе расплава. Такая зависимость, казалось бы, противоречит результатам предыдущих исследований [5], так как в расплавах с отношением NK/A меньше единицы зависимость должна быть обратной. Однако в действительности, поскольку в нашей системе присутствует еще и кальций, состав расплава суммарно обогащен

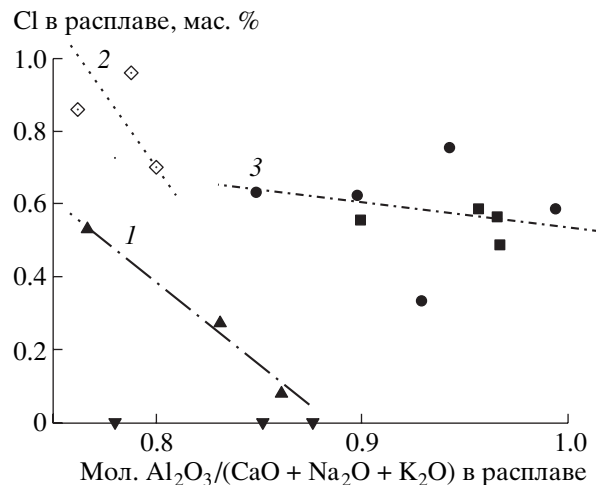


Рис. 2. Корреляции между содержанием хлора в расплаве и мольным отношением $Al_2O_3/(CaO + Na_2O + K_2O)$ в составе расплава. 1 – опыты в области парового флюида L_1 , расплав ненасыщен хлоридами, 2 – опыты с повышенным содержанием хлора в расплаве в присутствии двухфазного флюида и 3 – опыты в присутствии двухфазного и солевого флюидов. Остальные обозначения как на рис. 1.

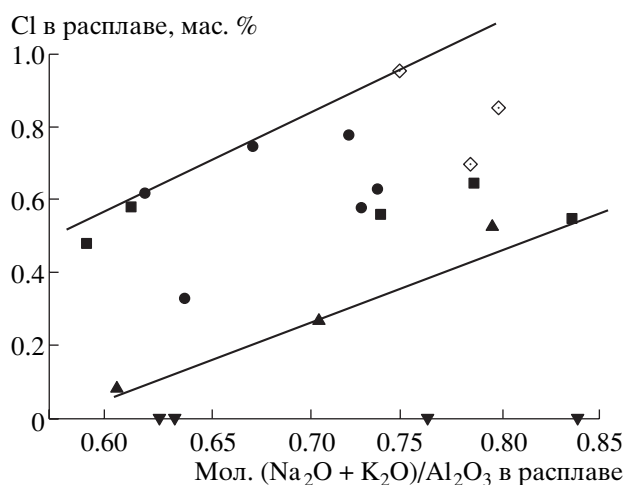


Рис. 3. Зависимость содержания хлора в составе гранодиоритового расплава от величины мольного соотношения $(Na_2O + K_2O)/Al_2O_3$. Две прямые линии ограничивают поле с хлорсодержащими опытами. Обозначения как на рис. 1.

натрием, калием и кальцием, относительно полевошпатового минала и, для получения верных корреляционных зависимостей, следует использовать соотношения $(CaO + Na_2O + K_2O)/Al_2O_3$ или A/CNK (например, рис. 2).

На рис. 4 показана зависимость содержания хлора в расплаве от мольного соотношения ANC/S , величина которого в наших опытах изменялась в диапазоне от ~ 0.4 до 0.54 (табл. 1). Вертикальная линия соответствует линии 1 на рис. 2 и подчеркивает постоянство соотношения $ANC/S \sim 0.46\text{--}0.47$, в области доминирования парового флюида L_1 (составы ненасыщены по хлору). Горизонтальная

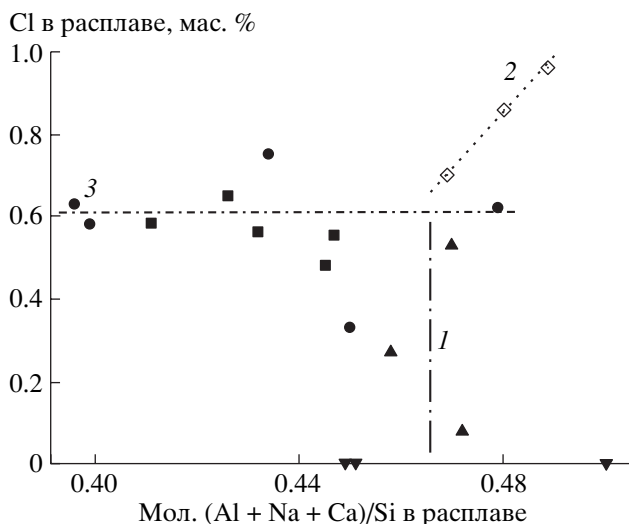


Рис. 4. Зависимость содержания хлора в составе расплава от величины мольного соотношения $(\text{Al} + \text{Na} + \text{Ca})/\text{Si}$. Обозначения как на рис. 1 и 2.

линия соответствует линии 3 на рис. 2 и показывает, что в присутствии двухфазного и солевого флюида в наших экспериментах соотношение ANC/S изменялось от ~0.40 до 0.45 (0.48) при содержании хлора ~0.5–0.7 мас. %. От пересечения линий 1 и 3 отходит линия 2 – это опыты с повышенным содержанием хлора в составе расплава, при этом отношение ANC/S увеличивается до ~0.47–0.49.

Результаты анализа ИК спектров образцов закаленного стекла

В табл. 2 представлены результаты анализа ИК спектров образцов гранодиоритовых стекол, которые мы выразили в виде отношения шестичленных колец к сумме четырех- и шестичленных. Эта доля, или структурный параметр α , варьирует в изученных образцах в пределах ~0.60–0.76. Следует отметить, что это отношение условное, а не строго количественное. Мы понимаем, что кольца в аморфном стекле могут быть деформированы случайным образом. Вероятно, возможны перекрытия. Часть деформированных Т-О-Т связей из четырехчленных колец может иметь углы равные шестичленным. Не вполне ясно и каково содержание пятичленных колец. Поэтому отношение можно рассматривать как относительный показатель, который отражает преобразование структуры, а не абсолютная доля тех или иных структурных единиц.

На рис. 5, в качестве примера, показан результат аппроксимации асимметричной полосы ИК спектра водо- и хлорсодержащего стекла двумя симметричными контурами, отвечающими шести- и четырехчленным кольцам. На рис. 6 представлены две гистограммы распределений, пока-

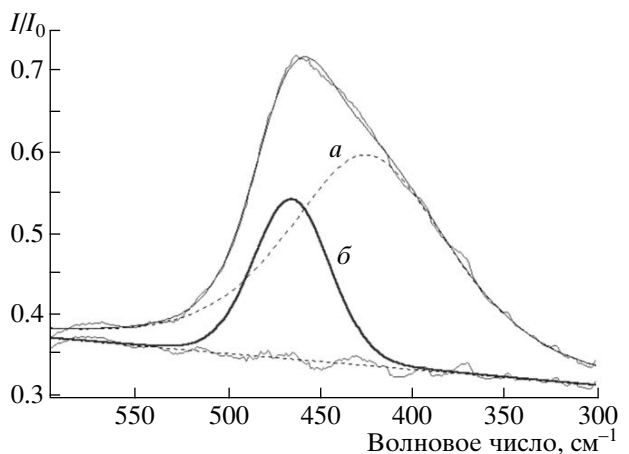


Рис. 5. Пример спектра инфракрасного поглощения водо- и хлорсодержащего стекла. Показан результат аппроксимации двумя симметричными контурами, отвечающими (a) – шести- (423 см^{-1}) и (б) – четырехчленным (465 см^{-1}) кольцам. Нижние линии представляют базовую линию и график невязки.

зывающие положение максимумов колебаний, отвечающих шести- (в среднем частота 423 см^{-1}) и четырехчленным (465 см^{-1}) кольцам в ИК спектрах всех проанализированных стекол по результатам аппроксимации. Сайкс и Кубицкий [23] предсказывают частоты в диапазоне 480 – 490 см^{-1} для деформационных колебаний четырехчленных колец. Зайферд и др. [24] указывают для сухих стекол интервал 480 – 490 см^{-1} для этой полосы. Кварцевое стекло имеет характерную полосу при 437 см^{-1} [25], что больше значения принимаемого нами для шестичленных колец. Смещение может быть связано с тем, что часть алюминия, по-видимому, входит в шестичленные кольца, а это приводит к смещению аналогичных колебаний для четырех- и трехчленных колец к более низким частотам. Воспроизводимость измерений и аппроксимации проверена путем повторных измерений других частей образцов. Максимальное отклонение от среднего составляет ± 0.02 (~3 отн. %).

На рис. 7 показано, что величина структурного параметра α изменяется неоднозначно при изменении содержания хлора в составе расплава. Полученные результаты можно представить в виде двух зависимостей, с которыми, возможно, связаны два рассмотренных ниже механизма растворения хлора в структуре расплава. Во-первых, увеличение содержания хлора в составе расплава от 0 до ~0.65 мас. % сопровождается ростом величины α , довольно резким вначале, от ~0.64 до ~0.70, а затем весьма постепенным, от 0.70 до ~0.74. Эти изменения соответствуют переходу четырехчленных полевошпатовых элементов алюмокремниевой сетки в шестичленные тридимито-подобные структурные элементы. Во-вторых, результаты, полученные для образцов с “ано-

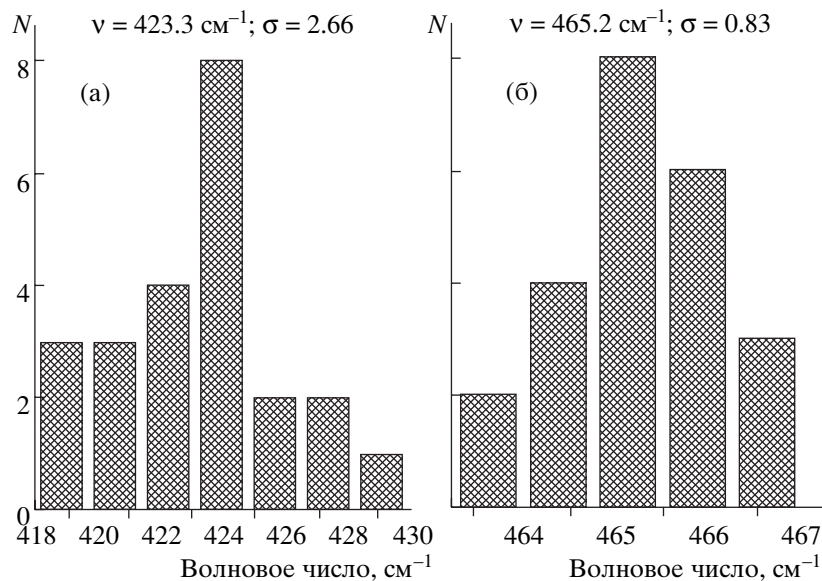


Рис. 6. Гистограммы распределений, характеризующие положение максимумов колебаний в ИК спектрах всех проанализированных стекол, по результатам аппроксимации отвечающих (а) шестичленным (423 см^{-1}) и (б) четырехчленным (465 см^{-1}) кольцам.

мально” повышенным содержанием хлора в составе расплава, от ~ 0.70 до 0.96 мас. %, образуют противоположно направленную зависимость. В этих образцах величина структурного параметра α уменьшается до $0.66\text{--}0.70$ и сближается с величиной α для закалочных стекол, исходно несодержащих хлор.

Для того чтобы оценить влияние изменений в составе гранодиоритового стекла на величину структурного параметра α , по данным, приведенным в табл. 1 и 2, были рассчитаны коэффициенты корреляции между средними значениями α и различными мольными соотношениями, а также между α и содержанием отдельных элементов в составе стекла. Установлена значимая корреляция между структурным параметром α и такими характеристиками состава: A/CNK ($R = +0.85$), ANC/S ($R = -0.95$), SiO_2 ($R = +0.88$) и CaO ($R = -0.69$). На рис. 8 показано, как изменяется величина структурного параметра α в зависимости от мольного соотношения A/CNK . Видно, что повышение величины A/CNK от ~ 0.73 до 0.97 сопровождается увеличением относительной доли шестичленных колец. В то же время при увеличении A/CNK больше единицы структурный параметр α стабилизируется на уровне ~ 0.73 и дальше не возрастает. Таким образом, избыток щелочей и кальция в составе расплава делает более устойчивыми четырехчленные полевошпатовые структурные единицы (уменьшение величины α). На рис. 9 показано, как изменяется величина структурного параметра α в зависимости от мольного отношения ANC/S . Видно, что увеличение величины ANC/S от ~ 0.4 до ~ 0.54 сопровождается постепенным уменьшением величины α , то есть увеличением

относительной доли четырехчленных колец в структуре закалочного стекла.

Общее содержание H_2O и содержания OH^- и молекулярной воды в составе гранодиоритового стекла

В табл. 2 представлены результаты определения содержания различных форм H_2O в образцах гранодиоритовых стекол, а также отношение содержания OH^- групп к общему содержанию воды ($\text{OH}^-/\text{H}_2\text{O}_\Sigma$) и суммарное содержание хлора и воды $\Sigma(\text{Cl} + \text{H}_2\text{O}_\Sigma)$. Определено, что общее содержа-

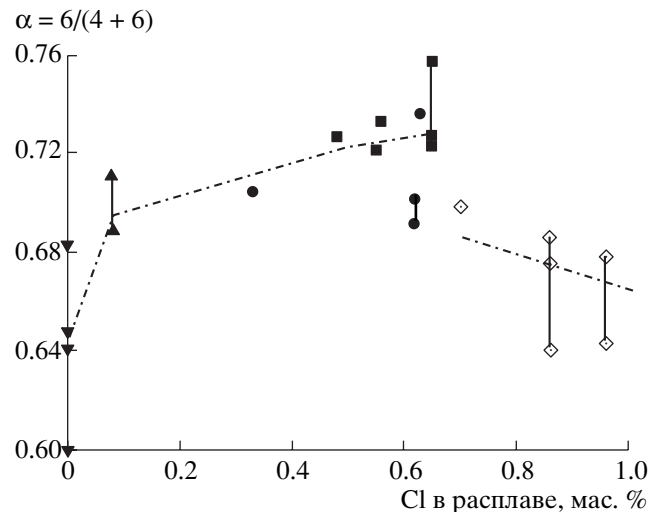


Рис. 7. Зависимость величины структурного параметра α от содержания хлора в составе гранодиоритового стекла. Точки, относящиеся к одному опыту, соединены вертикальной линией. Остальные обозначения как на рис. 1.

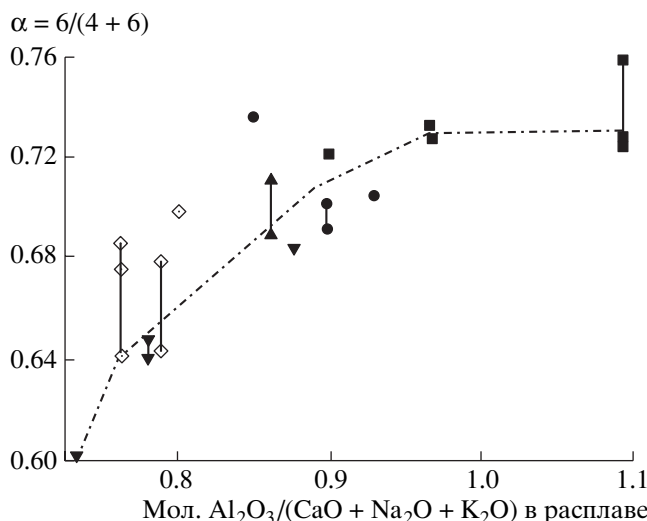


Рис. 8. Зависимость структурного параметра α от величины мольного отношения $\text{Al}_2\text{O}_3/(\text{CaO} + \text{Na}_2\text{O} + \text{K}_2\text{O})$ в составе стекла. Обозначения как на рис. 1 и 7.

ние воды в составе полученного гранодиоритового стекла составляет $\sim 4.2\text{--}4.6$ мас. %.

На рис. 10 приведена зависимость общего содержания H_2O в составе гранодиоритового стекла от величины мольного соотношения A/CNK . С некоторой долей условности, полученные данные можно разделить на две группы, аналогично рассмотренному выше делению по содержанию хлора в расплаве и по величине структурного параметра α в зависимости от величины A/CNK . Для обогащенных щелочами и кальцием составов стекла ($\text{A/CNK} = 0.73\text{--}0.80$) общее содержание воды чуть меньше и составляет в среднем $\sim 4.2\text{--}4.5$ мас. %; а для остальных более глиноземистых составов ($\text{A/CNK} = 0.86\text{--}1.09$) общее содержание воды чуть больше $\sim 4.5\text{--}4.6$ мас. %.

На рис. 11 показано отношение содержания OH^- групп к общему содержанию воды в закалочных стеклах. В целом, мы не видим заметных различий в содержании обеих форм растворенной в стекле воды. Распределение воды по формам (гидроксил и молекулярная вода) в закалочных стеклах не зависит от содержания хлора и агпантности расплава, оставаясь приблизительно постоянным ($\text{OH}^-/\text{H}_2\text{O}_\Sigma = 0.38 \pm 0.02$).

Установлена значимая корреляция между содержанием хлора и суммарным содержанием хлора и воды в составе гранодиоритового стекла ($R = +0.90$). На рис. 12 показано, что суммарное содержание хлора и воды $\Sigma(\text{Cl} + \text{H}_2\text{O}_\Sigma)$ в образцах стекла минимально в несодержащих хлор опытах ($\sim 4.2\text{--}4.5$ мас. %), затем возрастает в опытах с предположительно однофазным паровым и солевым флюидами, до ~ 4.7 мас. %, и, наконец, достигает максимального постоянного уровня ($\sim 5.1\text{--}5.3$ мас. %) для всех опытов с двухфазным флюи-

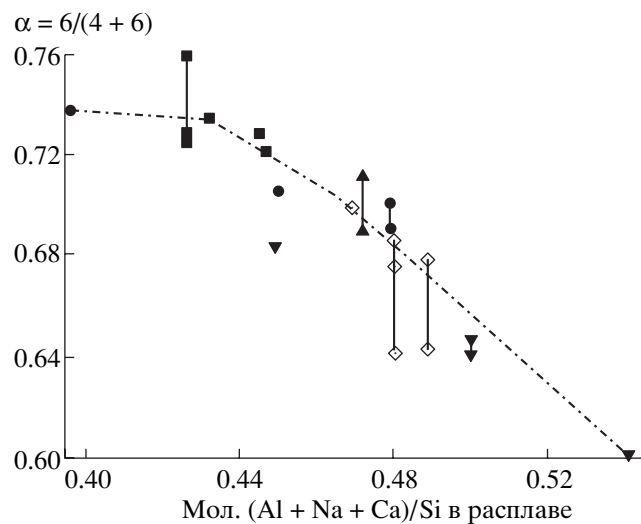


Рис. 9. Зависимость структурного параметра α от величины мольного отношения $(\text{Al} + \text{Na} + \text{Ca})/\text{Si}$ в составе стекла. Обозначения как на рис. 1 и 7.

дом, как с нормальным, так и с “аномально” повышенным содержанием хлора в стекле. Можно предположить, что в опытах с “аномально” повышенным содержанием хлора, вода и хлор начинают конкурировать друг с другом за одинаковые структурные позиции в расплаве.

ДИСКУССИЯ

Корреляционный анализ

Экспериментально изученная многокомпонентная, хотя и модельная, система оказалась слишком сложной для анализа на основе приведенных выше парных корреляционных зависимостей. По-

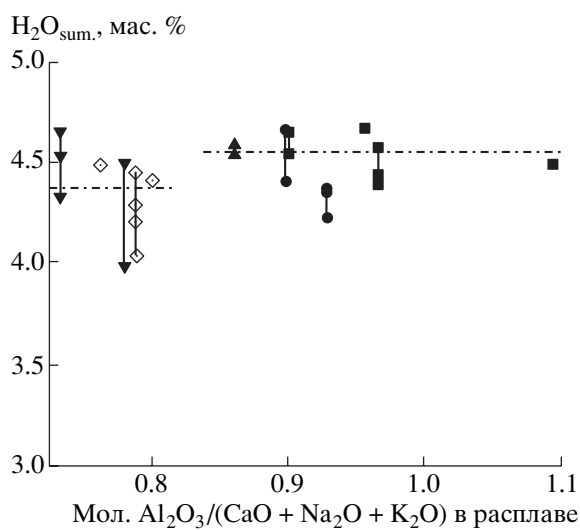


Рис. 10. Общее содержание воды как функция мольного отношения $\text{Al}_2\text{O}_3/(\text{CaO} + \text{Na}_2\text{O} + \text{K}_2\text{O})$ в составе гранодиоритового стекла. Обозначения как на рис. 1 и 7.

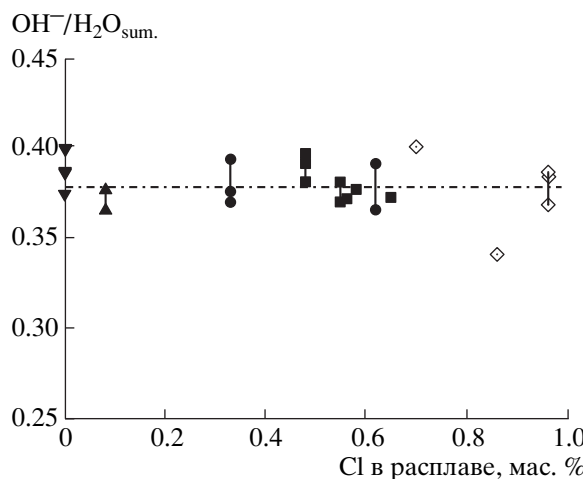


Рис. 11. Отношение содержания OH^- групп к общему содержанию воды в составе гранодиоритового стекла в зависимости от содержания хлора в этом стекле. Обозначения как на рис. 1 и 7.

этому полученные данные по структуре и составу образцов гранодиоритового стекла были описаны множественной линейной регрессией:

$$\alpha = 0.3216 + 0.3177(\text{A/CNK}) + 0.0179C_{\text{H}_2\text{O}} + 0.0177C_{\text{Cl}}. \quad (3)$$

Коэффициент корреляции, $R = +0.87$ (рис. 13).

Множественная линейная регрессия для совокупности случайных величин, в нашем случае для структурного параметра α , содержания воды, содержания хлора и мольного отношения A/CNK, характеризуется множественным коэффициентом корреляции R . Он показывает, насколько вариации α связаны с вариациями параметров, выбранных в качестве независимых случайных величин, в линейной функции регрессии:

$$\alpha - \bar{\alpha} = a_1(\text{A/CNK}) + a_2C_{\text{H}_2\text{O}} + a_3C_{\text{Cl}}. \quad (4)$$

Если параметр α однозначно задается значениями параметров, выбранных в качестве независимых, то $R = 1$. Если они абсолютно независимы, то $R = 0$.

Для регрессионного анализа мы использовали полную совокупность данных, приведенных в табл. 2 и 1. Для выбранной совокупности полученных данных, R принимает достаточно большое значение, равное 0.87, что свидетельствует о тесной корреляции рассматриваемых величин. Можно отметить, что значение коэффициентов $a_2 = a_{\text{H}_2\text{O}}$ и $a_3 = a_{\text{Cl}}$ в нашем случае близки по порядку величины между собой и к аналогичному коэффициенту пропорциональности содержания воды с величиной структурного параметра α в гранитном расплаве по [13]. В то же время значение коэффициентов $a_{\text{H}_2\text{O}}$ и a_{Cl} значительно меньше

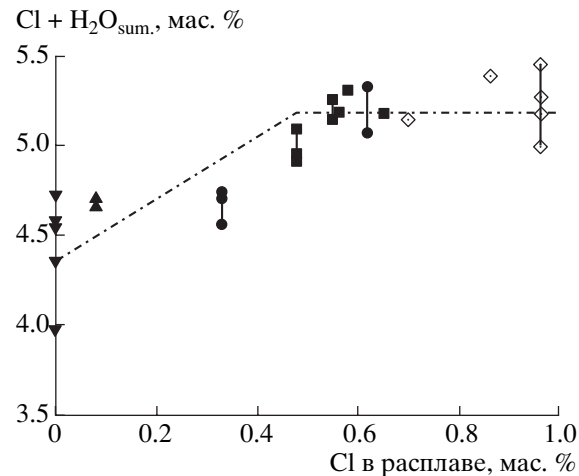


Рис. 12. Зависимость суммарного содержания H_2O и Cl в составе гранодиоритового стекла от содержания хлора в этом стекле. Обозначения как на рис. 1 и 7.

шее значения коэффициента $a_1 = a_{\text{A/CNK}}$, характеризующего общий состав расплава. Учитывая зависимость мольного отношения A/CNK от содержания катионов можно показать, что влияние натрия и калия на структурный параметр α близко по порядку величины с влиянием хлора и воды.

Обсуждение экспериментальных результатов

Следовало ожидать, что, с увеличением концентрации хлоридов во флюидных фазах, содержание Cl в гранодиоритовом расплаве будет возрастать в присутствии гомогенного парового флюида, оставаться постоянным в области двух-

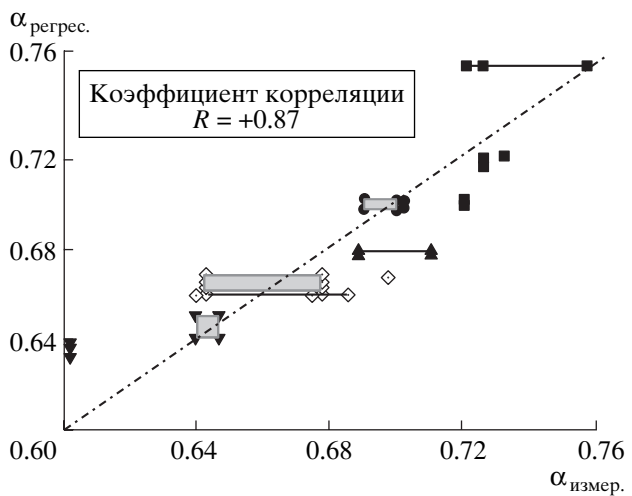


Рис. 13. Результаты множественной линейной регрессии структурного параметра α от величины A/CNK, содержания воды и содержания хлора в составе закалочного гранодиоритового стекла. Точки, относящиеся к одному опыту, соединены линией или образуют прямоугольник. Остальные обозначения как на рис. 1.

фазного флюида и оставаться на том же уровне или увеличиваться при гомогенном солевом флюиде. При этом содержание H_2O в расплаве будет оставаться постоянным в случае гомогенного парового или двухфазного флюида и уменьшаться по мере уменьшения величины активности воды в области однофазного солевого флюида. Полученные нами зависимости лишь отчасти совпадают с этими закономерностями, приводимыми Вебстером и другими исследователями [3–10].

В соответствии с нашими экспериментальными результатами выделяется область “аномально” повышенной растворимости хлора в гранодиоритовом расплаве (до 0.9–1 мас. %) в присутствии двухфазного флюида, суммарно относительно невысокой концентрации ~7–11 мас. % $MeCl$. Наверное, было бы логичнее представить максимум на кривой растворимости хлора принадлежащим однофазному флюиду. А падение и примерное постоянство переходом в двухфазную область. Но, в соответствии с [19–21], кажется маловероятным, что при $P-T$ -параметрах наших экспериментов распад на две фазы водно-хлоридного флюида происходит при концентрации $MeCl$ не менее 10 мас. %. Мы полагаем, что этот максимум концентрации хлора связан с различиями в составе расплава (повышением агпантности: отношение A/CNK уменьшается от 0.90–1.09 до 0.76–0.80, а ANC/S увеличивается от 0.41–0.48 до 0.47–0.54, соответственно). Хотя возможно, что различия в составе расплава, в свою очередь, связаны с флюидно-расплавным взаимодействием. Эти изменения состава расплава оказывают на растворимость хлора более заметное влияние, чем на растворимость воды. Варьируя состав исходного раствора, мы старались свести к минимуму разницу в составе закалочных стекол, но, видимо, полу-

ченные различия все-таки сказываются на результатах.

Общее содержание воды в гранодиоритовом стекле почти не изменяется для всего изученного диапазона составов, составляет ~4.2–4.6 мас. % и практически не зависит от состава сосуществующего с расплавом флюида.

Судить строго о взаимосвязи растворимости воды и хлора в магматическом расплаве трудно, поскольку растворимость зависит от свойств флюида, активности его компонентов, состава расплава и целого ряда других параметров. Для всего массива результатов выше приведена значимая парная корреляция между содержанием хлора и суммарным содержанием хлора и воды в составе гранодиоритового стекла. Для расплавов с нормальным содержанием хлора (менее ~0.7 мас. %) содержание воды приблизительно постоянно, ~4.5–4.6 мас. %, и никак не связано с растворимостью хлора. Для расплавов с “аномально” повышенным содержанием хлора содержание воды составляет ~4.2–4.5 мас. %, при этом концентрации хлора и воды становятся обратно пропорциональными друг другу, то есть хлор начинает конкурировать с водой. Можно предположить, что в этом случае растворение воды и хлора в гранодиоритовом расплаве сопровождается их взаимодействием со щелочноземельными или щелочными металлами по близкому механизму.

Образцы из наших экспериментов можно объединить в две группы, используя следующие четыре изученных свойства: различия в составе расплава (в величинах A/CNK и ANC/S), содержание хлора в расплаве, общее содержание воды в расплаве и структурный параметр α .

№ п.п.	Мол. отн. A/CNK	Мол. отн. ANC/S	Структурный параметр $\alpha = 6/(4 + 6)$	Содержание хлора в расплаве	Содержание воды в расплаве
I группа	0.73–0.80	0.47–0.54	0.60–0.70	0.7–0.96% и опыты без Cl	~4.2–4.5%
II группа	0.90–1.09	0.41–0.48	0.70–0.74	0.48–0.65% (0.33%)	~4.5–4.6% (4.3%)

В первую группу попали стекла как с “аномально” повышенным содержанием хлора, так и стекла из исходно несодержащих хлор опытов, которые по составу обогащены Ca , Na и K . Вторую группу составляют стекла из остальных опытов. Для оп. 227, с концентрированной солевой флюидной фазой, в скобках приведены выпадающие из общего ряда пониженные содержания хлора и воды. Следует отметить, что различие между содержанием воды в стеклах из этих двух групп находится в пределах разброса полученных ре-

зультатов и для подтверждения этого эффекта необходимы дополнительные данные.

Два возможных механизма растворения хлора в гранодиоритовом расплаве

Известно, что хлор в структуре расплава связан только с катионами-модификаторами сетки (Na , K , Ca , Fe и др.), в отличие от фтора, который может также вступать во взаимодействие с элементами-сеткообразователями (Si и Al). Граноди-

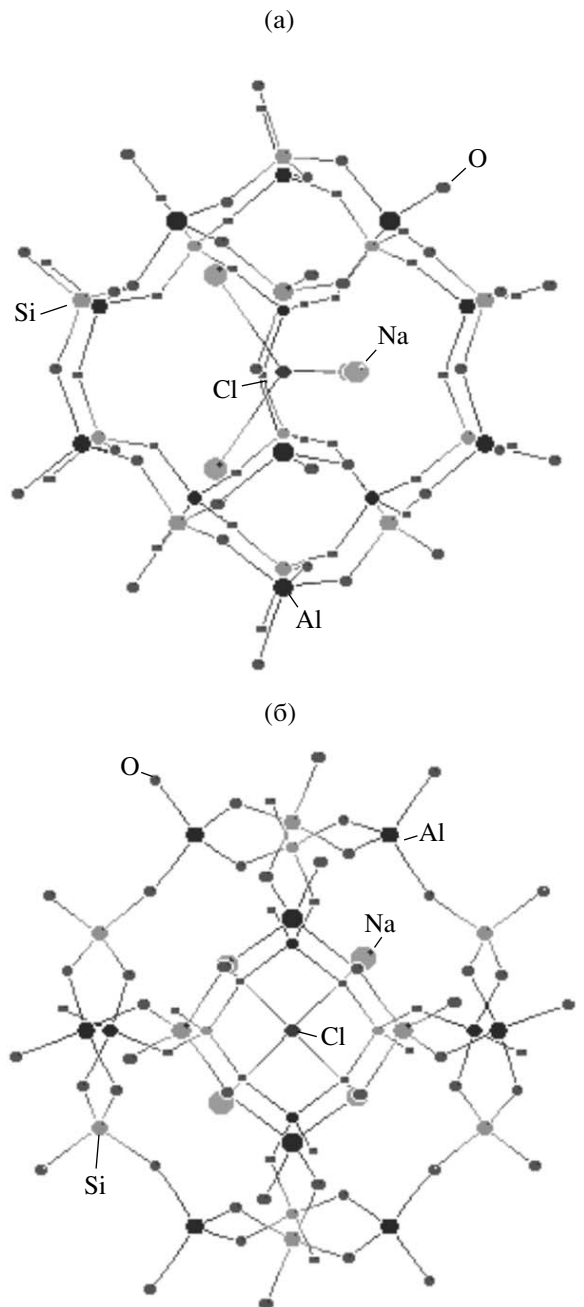


Рис. 14. Возможная позиция хлора в структуре полимеризованного гранитного – гранодиоритового расплава. а) 110- и б) 010-проекции отдельного “фонарика” структуры содалита с расположенным в центре тетраэдром из ионов Na^+ , окружающим ион Cl^- . Рисунок сделан с помощью программы MolDraw (Release 4.0, 1989), авторы – P. Ugliengo, G. Borzani, D. Viterbo, G. Chiari.

оритовый расплав состоит, главным образом, из элементов тридимитовой (шестичленные кольца) и полевошпатовой (четырехчленные кольца) структур. Полевошпатовые структурные элементы стабилизируются связанными с ними катионами щелочных и щелочноземельных металлов. Можно

предположить две альтернативные гипотезы растворения хлора в гранодиоритовом расплаве.

Согласно одной из них полученные данные, исключая опыты с “аномально” повышенным содержанием хлора, можно интерпретировать с позиций структуры полимеризованного гранитного-гранодиоритового расплава. Хлориды металлов, видимо, могут образовывать растворы внедрения с алюмокремниевой сеткой (рис. 14). При этом входжение хлоридов предпочтительно в участки с локальной структурой среднего порядка, состоящей из шестичленных тридимитоподобных алюмокремниевых колец, что согласуется с описанными выше данными по ИК-спектроскопии (рис. 7 и линия 3 на рис. 2). То есть разложение полевошпатовых структурных элементов и освобождение катионов-модификаторов в целом способствует растворению хлора в расплаве. Согласно [26], альбитовые миналы (структурные элементы расплава) в кислом расплаве не устойчивы и частично разлагаются на нефелиновые + кварцевые миналы. При этом и хлор и вода могут входить в нефелиновые миналы, образуя миналы содалита, в виде которого можно представить себе локальное окружение хлора в расплаве, исходя из структуры твердого раствора NaCl в алюмосиликате. Структура содалита $6\text{NaAlSiO}_4 \cdot 2\text{NaCl}$ представляет собой полый “фонарик”, состоящий из шестичленных колец (с углом Т-О-Т связей 138.5° , как в тридимите), образующих четырехчленные стыки с теми же углами Т-О-Т связей. Внутри полости находится ион хлора в тетраэдрической координации ионов Na^+ . Плотность соединения около 2.3, что близко к плотности кислого водосодержащего расплава. Таким образом, вероятно, что ближнюю сферу хлора в расплаве образуют катионы щелочных и щелочноземельных металлов. Они, помимо этого, взаимодействуют с алюмокремниевой сеткой, компенсируя избыточные заряды кислорода колец. Как показывает пример содалита, вся конструкция может быть симметричной (кубическая симметрия), что не позволяет говорить о какой-то особой связи хлора с конкретным ионом металла. Тем не менее в структуру содалита помимо натрия может входить и кальций (лазурит), а входжение калия в подобную структуру представляется менее вероятным. Калиевый полевой шпат является одним из наиболее устойчивых полевых шпатов, в котором крупный атом калия размещается в полости, которую могли бы занять хлор или вода. Это согласуется с экспериментальными данными [27], показавшими, что обогащение калием уменьшает растворимость хлора в алюмосиликатном расплаве, по сравнению с составами, обогащенными кальцием или натрием.

С другой стороны, хлор может находиться в расплаве в двух позициях: либо в координационной сфере катионов, практически не взаимодей-

ствующих с сеткой, либо в координационной сфере катионов, не потерявших такой связи. Хлор, связанный с отщепленным катионом, образует как бы микрокластер солевой фазы. Описаны переходы от растворов солей в силикатной составляющей на молекулярном уровне через микрокластеры к ликвации [28]. Истинная растворимость хлоридов в силикатных расплавах довольно мала, она и определяет растворимость хлора, например, в форме NaCl . С другой стороны, для двухвалентного кальция имеется возможность образования солей типа оксихлоридов (CaClO^-), где кислород связан с полевошпатовым структурным элементом. Хлор, связанный через кальций с сеткой, занимает вторую структурную позицию, которая насыщается дополнительно к чисто солевой. Растворение воды в расплаве, содержащем аортитовые структурные элементы, также может проходить с частичной гидратацией кальция. За эту позицию может происходить конкуренция хлора и гидроксила. Можно предположить, что, помимо первого вышеописанного механизма, при “аномально” повышенной растворимости хлора (~0.7–0.96 %) в исследованной системе начинает работать этот второй механизм растворения хлора. В этих стеклах структурный параметр α становится равным 0.66–0.70, то есть количество структурных полевошпатовых единиц в таком расплаве возрастает по сравнению с хлорсодержащими расплавами из других опытов (рис. 7 и линия 2 на рис. 2). Из данных по кристаллохимии полевых шпатов роль, подобную кальцию, могут играть также Ba и, в меньшей степени, Sr . Другие двухвалентные катионы, такие как Fe и Mg , не входят в полевой шпат и, как представляется, не связываются в расплаве с полевошпатовыми элементами структуры, и поэтому их роль в отношении структурных позиций хлора в расплаве может быть иной.

Для более детального описания различных структурных позиций Ca в расплаве можно было бы применить ЯМР метод с использованием стабильного редкого изотопа ^{43}Ca . Например, в работе Завельского и Саловой [29] определены две позиции ^{23}Na в натрийсиликатном стекле. Одна более симметричная позиция приписана отщепленному натрию, вторая менее симметричная интерпретирована как связанная с сеткой. Вторая позиция переходит в первую с ростом содержания воды.

ЗАКЛЮЧЕНИЕ

1. При $P = 1$ кбар и $T = 1000^\circ\text{C}$ растворимость хлора в гранодиоритовом расплаве составляет ~0.5–0.65 мас. % при солевой нагрузке флюида более ~15 % хлоридов. Общее содержание воды в гранодиоритовом стекле составляет ~4.2–4.6 мас. %. При общей солевой нагрузке двухфазного флюи-

да ~7–11 % MeCl установлена область “аномально” повышенной растворимости хлора (до 0.9–1 мас. %). Мы полагаем, что она связана с различиями в составе расплава (мольное отношение A/CNK уменьшается от 0.90–1.09 до 0.76–0.80, а ANC/S увеличивается от 0.41–0.48 до 0.47–0.54, соответственно). Причем эти различия в составе расплава оказывают на растворимость хлора более заметное влияние, чем на растворимость воды.

2. Содержание воды и хлора в расплаве при содержании хлора менее ~0.7 мас. % практически не зависит друг от друга. И только при “аномально” повышенном содержании хлора, концентрации хлора и воды становятся обратно пропорциональными друг другу. Можно предположить, что при этом хлор начинает конкурировать с водой за одинаковые структурные позиции в расплаве.

3. Имеющийся объем данных позволил выявить хорошую множественную корреляцию ($R = +0.87$) между структурным параметром α и составом расплава (отношение A/CNK), содержанием воды и содержанием хлора. Установлено, что различия в составе расплава (в величинах A/CNK и ANC/S) более заметно влияют на величину структурного параметра α по сравнению с влиянием содержаний воды и хлора в расплаве. Это подтверждают хорошие парные корреляции для всего массива результатов между структурным параметром α и мольными отношениями A/CNK, ANC/S, содержанием SiO_2 , CaO .

4. Предложено два альтернативных механизма растворения хлора в гранодиоритовом расплаве. При содержании ~0.5–0.65% хлор, вероятно, входит в структуру полимеризованного расплава при разложении полевошпатовых и образовании содалитовых структурных элементов. При повышенном содержании ~0.7–0.96% хлор, кроме этого, может связываться через двухвалентный кальций с полевошпатовыми элементами структуры. ТММ микроскопия показала отсутствие солевых фаз в изученных стеклах при увеличении $\times 100000$.

Авторы благодарны П. Армиенти (университет г. Пиза, Италия), определившему содержание воды в наших образцах, В.И. Николайчуку (ИПТМ РАН, г. Черноголовка, Московская обл.) за ТММ-микроскопические исследования и А.В. Чичагову (ИЭМ РАН) за структурные данные по содалиту, позволившие графически представить структуру минерала. Авторы весьма признательны К.И. Шмуловичу, Э.С. Персикову (ИЭМ РАН), Е.Б. Лебедеву (ГЕОХИ РАН), Е.Н. Граменицкому (МГУ) и Г.П. Зарайскому (ИЭМ РАН) за квалифицированные советы и замечания и за обсуждение рукописи статьи. Работа поддержана РФФИ, гранты № 99-05-65439, 99-05-64106, 00-15-98504 и 01-05-64837.

СПИСОК ЛИТЕРАТУРЫ

1. Маракушев А.А., Граменицкий Е.Н., Коротаев М.Ю. Петрологическая модель эндогенного рудообразования // Геология рудных месторождений. 1983. № 1. С. 3–20.
2. Candela P.A. and Piccoli P.M. Model ore-metal partitioning from melts into vapor and vapor / brine mixtures // *Magmas, Fluids and Ore Deposits*, ed. by J.F.H. Thompson. Mineral. Assoc. Canada, 1995. P.107–127.
3. Малинин С.Д., Кравчук И.Ф. Поведение хлора в равновесиях силикатный расплав – воднохлоридный флюид // Геохимия. 1995. № 8. С.1110–1130.
4. Webster J.D. Exsolution of magmatic volatile phases from Cl-enriched mineralizing granitic magmas and implications for ore metal transport // *Geochim. et Cosmochim. Acta*. 1997. V. 61. № 5. P.1017–1029.
5. Чевычелов В.Ю. О растворимости хлора во флюидонасыщенных магматических распавах гранитоидного состава: влияние кальция // Геохимия. 1999. № 5. С. 522–535.
6. Shinohara H., Iiyama J.T., Matsuo S. Partition of chlorine compounds between silicate melt and hydrothermal solutions: I. Partition of NaCl – KCl // *Geochim. et Cosmochim. Acta*. 1989. V. 53. № 10. P. 2617–2630.
7. Webster J.D., Kinzler R.J., Mathez E.A. Chloride and water solubility in basalt and andesite melts and implications for magmatic degassing // *Geochim. et Cosmochim. Acta*. 1999. V. 63. № 5. P. 729–738.
8. Webster J.D., Rebbert C.R. Experimental investigation of H_2O and Cl^- solubilities in F-enriched silicate liquids; implications for volatile saturation of topaz rhyolite magmas // *Contribs Mineral. and Petrol.* 1998. V. 132. № 2. P. 198–207.
9. Webster J.D. Chloride solubility in felsic melts and the role of chloride in magmatic degassing // *Jour. Petrol.* 1997. V. 38. № 12. P. 1793–1807.
10. Webster J.D. Fluid-melt interactions involving Cl-rich granites: experimental study from 2 to 8 kbar // *Geochim. et Cosmochim. Acta*. 1992. V. 56. P. 659–678.
11. Mysen B. and Frantz J. Structure and properties of alkali silicate melts at magmatic temperatures // *Eur. J. Mineral.* 1993. V. 5. P. 393–407.
12. Быков В.Н. Локальная структура силикатных и природных стекол и расплавов: исследование методами колебательной спектроскопии. Автореферат диссертации на соискание ученой степени доктора химических наук. (Работа выполнена в Институте минералогии УрО РАН). Москва, 2000. 41с.
13. Симакин А.Г., Салова Т.П., Эпельбаум М.Б., Бондаренко Г.В. Влияние воды на характер упорядочения структуры алюмосиликатного расплава // Геохимия. 1998. № 8. С. 861–864.
14. Sykes D., Marians J.C. and Burdett J. Geometric constraints: a refined model for the structure of silica glass // *J. Non Cryst. Solids*. 1990. V. 124. P. 1–21.
15. Zотов N., Kepler H. The influence of water on the structure of hydrous sodium tetrasilicate glasses // *Amer. Mineralogist*. 1998. V. 83. P. 823–834.
16. Hamilton D.L., Henderson C.M.B. The preparation of silicate compositions by a gelling method // *Miner. Mag.* 1968. V. 36. № 282. P. 832–838.
17. Roy R. Aids in hydrothermal experimentation // *J. Am. Ceram. Soc.* 1956. V. 39. P. 145–146.
18. Ohlhorst S., Behrens H., Holtz F. Compositional dependence of molar absorptivities of near-infrared OH^- and H_2O bands in rhyolitic to basaltic glasses // *Chem. Geology*. 2001. V. 174. P. 5–20.
19. Bodnar R.J., Burnham C.W., Stern S.M. Synthetic fluid inclusions in natural quartz. III. Determination of phase equilibrium properties in the system H_2O -NaCl to 1000°C and 1500 bars // *Geochim. et Cosmochim. Acta*. 1985. V. 49. P. 1861–1873.
20. Chou I.M. Phase relations in the system NaCl-KCl- H_2O . III. Solubilities of halite in vapor-saturated liquids above 445°C and determinations of phase equilibrium properties in the system NaCl- H_2O to 1000°C and 1500 bars // *Geochim. et Cosmochim. Acta*. 1987. V. 51. P. 1965–1975.
21. Shmulovich K.I., Tkachenko S.I., Plyasunova N.V. Phase equilibria in fluid systems at high pressures and temperatures // *Fluid in the crust: equilibrium and transport properties*, ed. by K.I. Shmulovich et al. 1995. Chapman & Hall. P. 193–214.
22. Johannes W., Holtz F. Petrogenesis and experimental petrology of granitic rocks. Minerals and Rocks. № 22. Berlin Heidelberg: Springer-Verlag, 1996. 335 p.
23. Sykes D. and Kubicki J.D. Four-membered rings in silica and aluminosilicate glasses // *Am. Mineral.* 1996. V. 81. P. 265–272.
24. Seifert F.A., Mysen B.O. and Virgo D. Three-dimensional network structure of quenched melts (glass) in the systems SiO_2 - $NaAlO_2$, SiO_2 - $CaAl_2O_4$ and SiO_2 - $MgAl_2O_4$ // *Am. Mineral.* 1982. V. 67. P. 696–717.
25. Matson D., Sharma S. and Philpotts J. Raman spectra of some tectosilicates and of glasses along the orthoclase-anorthite and nepheline joins // *Am. Mineral.* 1986. V. 71. P. 694–704.
26. Simakin A.G. and Rincon J.M. Structural thermodynamic model of the melt in the system Ab-Q // *Physics and Chemistry of Glass*. 2002 (in press).
27. Чевычелов В.Ю., Сук Н.И. Влияние состава магматического расплава на растворимость в нем хлоридов металлов при давлении 0.1–3.0 кбар // Петрология. 2003. № 1 (в печати).
28. Анфилогов В.Н., Бобылев И.Б., Анфилогова Г.И., Зюзева Н.А. Строение и свойства силикатно-галогенидных расплавов. М.: Наука, 1990. 109 с.
29. Завельский В.О., Салова Т.П. Роль натрия в механизме взаимодействия натрийсиликатного расплава с водным флюидом (ЯМР 1H и ^{23}Na) // Геохимия. 2001. № 8. С. 829–835.